

本方案中用 n 表示安全参数，所有其余参数均为 n 的函数：

- $q \geq \beta \cdot n^\delta$, 其中 $\delta \in (0, 1)$ 是任意常数
- $k = \lceil \log q \rceil$
- $\beta = s \cdot \sqrt{m}$
- $s \geq 3 \cdot r \cdot s_1(\mathbf{T})$, 其中 $s_1(\mathbf{T})$ 表示矩阵 $\mathbf{T} = [\mathbf{E}^t \ \mathbf{R}^t \ \mathbf{I}]^t$ 的最大奇异值, \mathbf{E}, \mathbf{R} 的定义见算法 1
- $r = \sqrt{\ln(2m(1+1/\epsilon))/\pi}$, 其中 $\epsilon = 2^{-128}$ 或 $\epsilon = 2^{-256}$
- $m = n(2+k)$

\mathbb{Z}_q 表示 $\mathbb{Z} \bmod q$ 的绝对最小剩余。 $\forall z \in \mathbb{Z}_q$, 令 $[z]_2^k$ 表示唯一字符串 $\in \{0, 1\}$ 或 $\in \{-1, 0\}$ 使得 $z = \sum_i z_i 2^i$ 。

令 $\mathbf{g} = [1, 2, 4, \dots, 2^{k-1}] \in \mathbb{Z}^{1 \times k}$ 。矩阵 Σ_0 定义为

$$\Sigma_0 = \begin{bmatrix} 1 & & & & -(\frac{1}{2})^{k-1} \\ & 1 & & & -(\frac{1}{2})^{k-2} \\ & & \ddots & & \vdots \\ & & & 1 & -\frac{1}{2} \\ -(\frac{1}{2})^{k-1} & -(\frac{1}{2})^{k-2} & \cdots & -\frac{1}{2} & \sum_{i=1}^{k-1} (\frac{1}{4})^i + \frac{q^2}{4^k} \end{bmatrix}.$$

对任意实对称矩阵 Σ , 若 $\Sigma = \mathbf{B}\mathbf{B}^t$, 定义 $\sqrt{\Sigma} = \mathbf{B}$ 。 $\mathcal{D}_{\Lambda, \sqrt{\Sigma}, \mathbf{c}}$ 表示格 Λ 上以 \mathbf{c} 为中心、高斯偏差为 $\sqrt{\Sigma}$ 的离散高斯分布（当 $\mathbf{c} = \mathbf{0}$ 时下标 \mathbf{c} 省略）。

定义环 $\mathcal{R} = \mathbb{Z}[x]/(x^n + 1)$, $\mathcal{R}_q = \mathbb{Z}_q[x]/(x^n + 1)$, $\mathcal{Q} = \mathbb{Q}[x]/(x^n + 1)$ 。为方便描述, 可将环 \mathcal{R} (或 \mathcal{R}_q , \mathcal{Q}) 等同于 \mathbb{Z}^n (或 \mathbb{Z}_q^n , \mathbb{Q}^n), 即将环中的元素 $u(x) = \sum_{i=0}^{n-1} u_i x^i$ 等同于其系数所构成的列向量 $\mathbf{u} = (u_0, \dots, u_{n-1})$ 。 $\text{Rot}(\mathbf{u}) = (-u_{n-1}, u_1, \dots, u_{n-2})$ 。 $\langle \cdot, \cdot \rangle$ 表示向量的内积。令 $\hat{\mathbf{v}}$ 表示环上的向量。定义 $\hat{\mathbf{g}} = [\mathbf{g}_1, \mathbf{g}_2, \dots, \mathbf{g}_{k-1}] = [1, 2, \dots, 2^{k-1}] \in \mathcal{R}^{1 \times k}$ 。 $\mathcal{H} : \{0, 1\}^* \rightarrow \mathbb{Z}_q^n$ 表示哈希函数。

1 算法描述

- KeyGen(1^n): 输入安全参数 n ; 输出公钥 pk , 私钥 sk 。

- 选取均匀随机元素 $\mathbf{a} \leftarrow \mathcal{R}_q$
- 选取 $\hat{\mathbf{r}} = [\mathbf{r}_1, \dots, \mathbf{r}_k] \leftarrow \mathcal{D}_{\mathbb{Z}, 2\sqrt{n}}^{n \times k}$, $\hat{\mathbf{e}} = [\mathbf{e}_1, \dots, \mathbf{e}_k] \leftarrow \mathcal{D}_{\mathbb{Z}, 2\sqrt{n}}^{n \times k}$, 则 $\hat{\mathbf{r}}, \hat{\mathbf{e}} \in \mathcal{R}_q^{1 \times k}$
- 令 $\hat{\mathbf{a}} = [1, \mathbf{a}, \mathbf{g}_1 - (\mathbf{a}\mathbf{r}_1 + \mathbf{e}_1), \dots, \mathbf{g}_k - (\mathbf{a}\mathbf{r}_k + \mathbf{e}_k)] \in \mathcal{R}_q^{1 \times (2+k)}$
- 令 $pk = \hat{\mathbf{a}}$, $sk = (\hat{\mathbf{e}}, \hat{\mathbf{r}})$

- Sign(sk, μ): 输入私钥 sk 和消息 μ ; 输出签名 σ 。

- 令 $s = 2.4 \cdot r \cdot \sqrt{n} \cdot (\sqrt{nk} + \sqrt{2n} + 4.7)$

- $\hat{\mathbf{p}} = [\mathbf{p}_1, \dots, \mathbf{p}_{k+2}] \leftarrow \text{SampleP}(n, q, s, r, (\hat{\mathbf{e}}, \hat{\mathbf{r}}))$
- 令 $\mathbf{v} = \mathcal{H}(\mu \| str) - \langle \hat{\mathbf{a}}, \hat{\mathbf{p}} \rangle$
- 对 \mathbf{v} 的每个分量 v_i , $\mathbf{z}_i \leftarrow \text{SampleG}(q, v_i)$
- 将矩阵 $[\mathbf{z}_1, \dots, \mathbf{z}_n] \in \mathbb{Z}^{k \times n}$ 按行转换为 $\hat{\mathbf{x}} = [\mathbf{x}_1, \dots, \mathbf{x}_k] \in \mathcal{R}^{1 \times k}$
- 令 $\sigma = [\mathbf{p}_1 + \langle \hat{\mathbf{e}}, \hat{\mathbf{x}} \rangle, \mathbf{p}_2 + \langle \hat{\mathbf{r}}, \hat{\mathbf{x}} \rangle, \mathbf{p}_3 + \mathbf{x}_1, \dots, \mathbf{p}_{k+2} + \mathbf{x}_k]$
- Verf(pk, μ, σ): 输入公钥 pk , 消息 μ 和签名 σ ; 输出 0 或 1。
 - 若 $\langle \hat{\mathbf{a}}, \sigma \rangle = \mathcal{H}(\mu \| str)$ 且 $\|\sigma\| \leq s \cdot \sqrt{m}$, 输出 1; 否则输出 0

Algorithm 1 SampleP($n, q, s, r, (\hat{\mathbf{e}}, \hat{\mathbf{r}})$)

Input: $n, q \in \mathbb{Z}, s, r \in \mathbb{R}, (\hat{\mathbf{e}}, \hat{\mathbf{r}}) \in \mathcal{R}^{2 \times k}$
Output: $\mathbf{p} \sim \mathcal{D}_{\mathbb{Z}^m, \sqrt{\Sigma_p}}$, 其中 $\Sigma_{\mathbf{p}} = s^2 \cdot \mathbf{I} - 9 \cdot r^2 \cdot \begin{bmatrix} \mathbf{E} \\ \mathbf{R} \\ \mathbf{I} \end{bmatrix} \cdot [\mathbf{E}^t \ \mathbf{R}^t \ \mathbf{I}]$, $\mathbf{E} = [\text{Rot}(\mathbf{e}_1) | \dots | \text{Rot}(\mathbf{e}_k)]$, $\mathbf{R} = [\text{Rot}(\mathbf{r}_1) | \dots | \text{Rot}(\mathbf{r}_k)]$

- 1: $\alpha = 3r$
- 2: $z = (\alpha^{-2} - s^{-2})^{-1}$
- 3: $\mathbf{a} = s^2 - z\langle \hat{\mathbf{r}}, \hat{\mathbf{r}} \rangle$
- 4: $\mathbf{b} = -z\langle \hat{\mathbf{e}}, \hat{\mathbf{r}} \rangle$
- 5: $\mathbf{d} = s^2 - z\langle \hat{\mathbf{e}}, \hat{\mathbf{e}} \rangle$
- 6: **for** $i = 0$ to $nk - 1$ **do**
- 7: $q_i \leftarrow \text{SampleZ}(\sqrt{s^2 - \alpha^2})$
- 8: **end for**
- 9: 将 $\mathbf{Q} \in \mathbb{Z}^{k \times n}$ 转化为 $\hat{\mathbf{q}} \in \mathcal{R}_q^{k \times 1}$
- 10: $\hat{\mathbf{c}} = \frac{-\alpha^2}{s^2 - \alpha^2} \begin{bmatrix} \hat{\mathbf{r}} \\ \hat{\mathbf{e}} \end{bmatrix} \hat{\mathbf{q}}$
- 11: $\mathbf{p}' \leftarrow \text{Sample2Z}(\mathbf{a}, \mathbf{b}, \mathbf{d}, \hat{\mathbf{c}})$
- 12: 将 $\mathbf{p}' \in \mathbb{Z}^{2 \times n}$ 转化为 $\hat{\mathbf{p}}' \in \mathcal{R}_q^2$
- 13: 将 $(\hat{\mathbf{p}}', \hat{\mathbf{q}}) \in \mathcal{R}^2 \times \mathcal{R}^k$ 转化为 $\mathbf{p} \in \mathbb{Z}^m$
- 14: **return** \mathbf{p}

Algorithm 2 Sample2Z($\mathbf{a}, \mathbf{b}, \mathbf{d}, \hat{\mathbf{c}}$)

Input: $\mathbf{a}, \mathbf{b}, \mathbf{d} \in \mathcal{Q}, \hat{\mathbf{c}} \in \mathcal{Q}^{2 \times 1}$
Output: $[\mathbf{q}_0, \mathbf{q}_1] \in \mathcal{R}_q^{1 \times 2}$

- 1: $\hat{\mathbf{c}} = (\mathbf{c}_0, \mathbf{c}_1)$
- 2: $\mathbf{q}_1 \leftarrow \text{SampleFZ}(\mathbf{d}, \mathbf{c}_1)$
- 3: $\mathbf{c}_0 = \mathbf{c}_0 + \mathbf{b}\mathbf{d}^{-1}(\mathbf{q}_1 - \mathbf{c}_1)$
- 4: $\mathbf{q}_0 \leftarrow \text{SampleFZ}(\mathbf{a} - \mathbf{b}\mathbf{d}^{-1}\mathbf{b}^t, \mathbf{c}_0)$
- 5: **return** $(\mathbf{q}_0, \mathbf{q}_1)$

Algorithm 3 SampleFZ(\mathbf{f}, \mathbf{c})

Input: $\mathbf{f}, \mathbf{c} \in \mathcal{Q}$ **Output:** $\mathbf{q} \in \mathcal{R}_q$

```
1: if dim( $\mathbf{f}$ )=1 then
2:   return SampleZ( $\sqrt{f}, c$ )
3: else
4:    $f(x) = f_0(x^2) + x \cdot f_1(x^2)$ 
5:    $c(x) = c_0(x^2) + x \cdot c_1(x^2)$ 
6:    $\hat{\mathbf{c}} = (\mathbf{c}_0, \mathbf{c}_1)$ 
7:    $(\mathbf{q}_0, \mathbf{q}_1) \leftarrow \text{Sample2Z}(\mathbf{f}_0, \mathbf{f}_1, \mathbf{f}_0, \hat{\mathbf{c}})$ 
8:    $q(x) = q_0(x^2) + x \cdot q_1(x^2)$ 
9: end if
10: return  $\mathbf{q}$ 
```

Algorithm 4 SampleG(q, u)

Input: $q, u \in \mathbb{Z}_q$ **Output:** $\mathbf{x} \sim \mathcal{D}_{\Lambda_u^\perp(\mathbf{g}), 3r}$

```
1:  $\mathbf{p} \leftarrow \mathcal{D}_{\mathbb{R}^k, 2r \cdot \sqrt{2 \cdot \mathbf{I} - \Sigma_0}}$ 
2: for  $i = 0$  to  $k - 1$  do
3:    $p_i \leftarrow \mathcal{D}_{\mathbb{Z}, r, p_i}$ 
4: end for
5:  $v = u - \langle \mathbf{g}, \mathbf{p} \rangle$ 
6:  $\mathbf{v} = [v]_2^k, \mathbf{q} = [q]_2^k$ 
7:  $c = -\frac{v}{q}, y \leftarrow \mathcal{D}_{\mathbb{Z}, r, c}$ 
8:  $\mathbf{w} = \mathbf{v} + y \cdot \mathbf{q}$ 
9: for  $i = 0$  to  $k - 2$  do
10:    $x_i \leftarrow D_{2\mathbb{Z} + w_i, 2r}$ 
11:    $w_{i+1} = w_{i+1} + \frac{w_i - x_i}{2} \in \mathbb{Z}$ 
12: end for
13:  $x_{k-1} = w_{k-1}$ 
14:  $\mathbf{x} = (x_0, \dots, x_{k-1})$ 
15:  $\mathbf{x} \leftarrow \mathbf{x} + \mathbf{p}$ 
16: return  $\mathbf{x}$ 
```

2 设计原理

2.1 策略和思路

签名方案使用了格上“hash and sign”签名策略[7]，即对消息的哈希值进行签名。使用该策略有如下优点：

- 使得签名算法设计更加简洁
- 在经典/量子随机预言机模型下均满足强 EUF-CMA 安全性 [3, 7]
- 容易扩展出更丰富的功能，如基于身份的加密 [7]、消息恢复模式 [5] 等

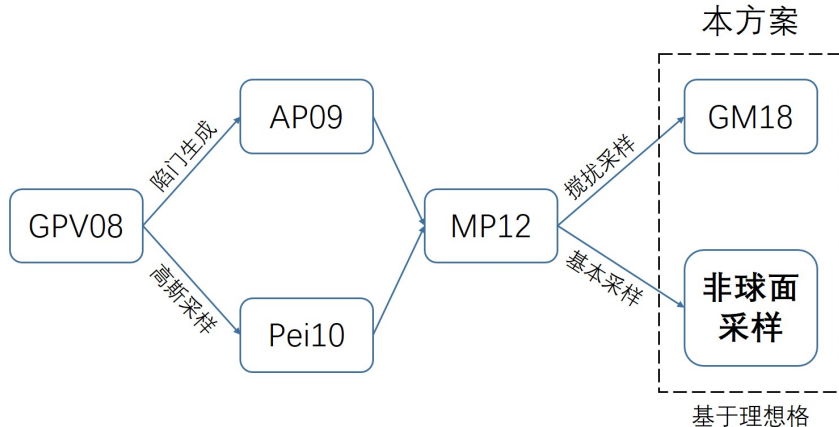


Figure 1: 技术路线图

出于安全考虑，消息 μ 被哈希前需要先串接一个 320 比特随机串 str 。方案的公钥 $\hat{\mathbf{a}}$ 定义了一个抗碰撞原像可采样函数（PSF） $f_{\hat{\mathbf{a}}} : \mathcal{R}^{2+k} \rightarrow \mathcal{R}_q$ 。给定消息 μ 的哈希值 $\mathbf{u} = \mathcal{H}(\mu||str)$ ，利用陷门 $(\hat{\mathbf{e}}, \hat{\mathbf{r}})$ 可以从其（指数多）原像 $\Lambda_{\mathbf{u}}^{\perp}(\hat{\mathbf{a}})$ 中按照离散高斯分布随机抽取一个原像作为签名 σ 而不泄露陷门的任何信息。

签名算法的核心是利用陷门进行原像高斯采样：

- 陷门：[7] 中的陷门是格的一组短基；[10] 中提出 q -ary 格上“更简单、更紧凑、更快速、更小巧”的陷门
- 高斯采样：[7] 中的采样算法针对的是任意格；[10] 基于 [12] 中的“卷积”技术，提出一种针对 q -ary 格的更高效的采样算法；该算法将高斯采样分为搅扰采样和基本采样两部分

本方案在“hash and sign”策略的基础上，使用了 [10] 中的陷门生成和离散高斯分布的“卷积”技术，即最终采样输出由搅扰向量和基本采样两部分“卷积”而成。算法 SampleP 用以搅扰向量的采样，算法 SampleG 用于基本采样。SampleP 与待签名的消息无关，可以在线下提前完成；SampleG 与待签名的消息相关，需要给定消息的哈希值后才能执行，因此需要在线上完成。本方案中的 SampleP 使用了 [6] 中的采样方法；而 SampleG 使用了我们的非球面高斯采样技术。此外，为了克服格公钥密码庞大的密钥尺寸这一固有缺陷，本算法基于理想格，利用其特殊的代数结构来降低公钥和私钥的尺寸，进而减少应用中的通信带宽。综上，本方案所使用的技术发展路线如图 1 所示。

2.2 设计原则

算法的设计兼顾如下两方面的需求：

- 安全性

- 抵抗量子攻击

- 由格上困难问题在最坏情况下的困难性保障
- 效率
 - 签名速度快
 - 存储空间小

2.3 参数选择依据

- 安全性

签名算法本身基于 Ring-SIS 困难假设；而参数生成过程基于 Ring-LWE 困难假设。由于后者的假设更强，我们在参数选择时只考虑 Ring-LWE 问题的困难性。文献 [8, 9] 中的结果表明，Ring-LWE 问题至少和理想格上的近似最短向量问题 (SVP_γ) 一样困难。由于目前理想格上的环结构无法加速困难问题的求解，所以通常认为一般格和理想格上的困难问题具有相同的困难性。而求解格上 SVP_γ 最有效的算法是 BKZ 算法 [4, 13]。文献 [1, 2, 4] 中的结果表明，当前求解格上 SVP_γ 最高效算法的时间复杂度约为 $2^{0.292n}$ 。因此，我们需要 $0.292n > 128$ 或 $0.292n > 256$ ，以期望达到 128 比特或 256 比特的安全性。

- 有效性

本方案中的运算都定义在环 $\mathcal{R} = \mathbb{Z}[x]/f(x)$ 或 $\mathcal{R}_q = \mathbb{Z}_q[x]/f(x)$ 上。当 $f(x) = x^n + 1$ 且 n 为 2 的幂次时，环上的运算最高效。

综上，兼顾算法的安全性和有效性，本方案分别选择 $n = 512$ 和 $n = 1024$ 。

3 安全性分析

3.1 安全性证明

3.1 ([7] 命题 6.1). 本方案基于 Ring-SIS 假设，在随机预言机模型下满足强 EUF-CMA 安全性。

Proof. 方案的公钥 $\hat{\mathbf{a}}$ 定义了一个抗碰撞 PSF $f_{\hat{\mathbf{a}}} : \mathcal{R}^{2+k} \rightarrow \mathcal{R}_q$ 。根据 [7] 中定理 5.9，该抗碰撞 PSF 基于 Ring-SIS 假设。假设存在 P.P.T. 的攻击者 \mathcal{A} 能以不可忽略的概率 p 进行签名伪造，下面构造 P.P.T. 的攻击者 \mathcal{S} 以接近 p 的概率攻破 $f_{\hat{\mathbf{a}}}$ 的抗碰撞性，进而攻破 Ring-SIS 假设。

给定公钥 $\hat{\mathbf{a}}$ ， \mathcal{S} 按如下方式模拟哈希函数 \mathcal{H} 及签名询问（不失一般性，假设 \mathcal{A} 在询问消息的签名前已经进行了哈希询问）：

- 哈希询问： $\forall \mu \in \{0, 1\}^*$ ， \mathcal{S} 选取 $\sigma_\mu \leftarrow \mathcal{D}_{\mathbb{Z}^m, s}$ ，保存 (μ, σ_μ) ，并将 $f_{\hat{\mathbf{a}}}(\sigma_\mu)$ 返回给 \mathcal{A}
- 签名询问： \mathcal{S} 查找 (μ, σ_μ) ，并将 σ_μ 返回给 \mathcal{A}

假设 \mathcal{A} 输出消息 μ^* 的伪造签名 σ^* 前已进行哈希询问，即 \mathcal{S} 已经保存 (μ^*, σ_{μ^*}) 。当 \mathcal{A} 输出伪造签名 σ^* 后， \mathcal{S} 输出 $(\sigma_{\mu^*}, \sigma^*)$ 作为 $f_{\hat{\mathbf{a}}}$ 的碰撞。

根据 [7] 中推论 2.8, σ_μ 和 \mathbb{Z}_q^n 上的均匀分布统计不可区分, 因此 \mathcal{A} 无法区分真实的签名伪造和 \mathcal{S} 的模拟环境。此外, 给定消息的哈希值 \mathbf{u} , 签名询问的输出和真实签名的输出均近似服从 $\mathcal{D}_{\Lambda_{\mathbf{u}}^\perp(\hat{\mathbf{a}}), s}$ 。因此, \mathcal{A} 以接近 p 的概率输出有效的伪造 (μ^*, σ^*) 。最后, 由于 \mathcal{A} 输出伪造签名前已进行哈希询问, 根据 PSF 的原像最小熵性质 ([7] 引理 2.10), $\sigma_{\mu^*} \neq \sigma^*$ 以接近 1 的概率成立。 \square

3.2 安全强度

针对不小于 128 比特、256 比特的安全强度, 本方案的两组参数集如下。

Table 1: 两组参数集

λ	n	m	q	k	r	s
128	512	13312	16770049	24	5.6	44873
256	1024	30720	268369921	28	7.8	131360

文献 [1, 2, 4] 中的结果表明, 当前求解格上 SVP_γ 最高效算法的时间复杂度约为 $2^{0.292n}$; 在量子计算环境下, 时间复杂度约为 $2^{0.265n}$ 。因此, 我们的签名方案在经典计算环境下可以达到 149 比特或 299 比特的安全性; 在量子计算环境下达到 135 比特或 271 比特的安全性。

3.3 失败率

本方案存在如下失败情况:

- 密钥生成阶段

私钥 $\hat{\mathbf{e}}, \hat{\mathbf{r}} \sim \mathcal{D}_{\mathbb{Z}, 2\sqrt{n}}^{n \times k}$, 参数 s 需满足 $s \geq 3 \cdot r \cdot s_1(\mathbf{T})$, 其中 $\mathbf{T} = [\mathbf{E}^t \ \mathbf{R}^t \ \mathbf{I}]^t$, 根据文献 [10] 中引理 2.9, 当 $s = 2.4 \cdot r \cdot \sqrt{n} \cdot (\sqrt{nk} + \sqrt{2n} + 4.7)$ 时, 会有至多 2^{-100} 的概率使得 $s < 3 \cdot r \cdot s_1(\mathbf{T})$, 此时, 可能的后果是方案无法达到所声称的 149 比特或 299 比特安全。

- 签名阶段
 - 签名失败

签名 σ 需要满足 $\|\sigma\| \leq s\sqrt{m}$ 。本方案的签名算法输出 $\sigma \sim \mathcal{D}_{\Lambda_{\mathbf{u}}^\perp(\hat{\mathbf{a}}), s}$ 。根据文献 [11] 中引理 4.3, 签名失败的概率小于 $2^{1-m} \leq 2^{-13311}$ 。

- 得到小向量

假设攻击者进行 Q_s 次签名询问。根据生日悖论, 攻击者以大约 $Q_s \cdot q^{-n/2}$ 的概率找到 $\mathcal{H}(\cdot)$ 上的一对碰撞, 此时, 签名算法会以接近 1 的概率得到格上同一陪集的两个短向量, 它们之差即为格 $\Lambda^\perp(\hat{\mathbf{a}})$ 上的短向量, 这攻破了 Ring-SIS 假设。

4 性能分析

本算法使用 C 语言，在软件平台（Intel 酷睿 i3 处理器，4GB 内存，Windows 10 64位操作系统，DEV-C++）实现。计算量和存储需求估计分别如表 2 表 3 所示。

Table 2: 计算量需求 (ms)			
λ	keygen	sign	verf
128	12.15	99.05	10.25
256	31.7	271.4	23.4

Table 3: 存储需求 (KB)			
λ	pk	sk	σ
128	52	96	52
256	104	192	104

5 优缺点声明

- 优点
 - 本方案能够抵御量子攻击，在量子计算环境下，可分别达到 135 和 271 比特安全
 - 算法运行过程中需要较少的存储空间，并且通过 FFT 可以达到较高的运算的效率
 - 灵活的参数选择，当 n 不为 2 的幂次时，通过 [6, 9] 中的技术，算法依然保持高效
 - 算法可以通过修改算法提供额外功能，例如，消息恢复签名、基于身份的加密等
 - 签名过程可以分为 on-line/off-line 两个阶段，SampleP 以及 SampleG 中的步骤 1-4 都属于 off-line 阶段，可以提前执行并将结果保存，留作后用
 - 算法可并行实现
- 缺点
 - 算法中包含多精度浮点型运算
 - 算法中的高斯采样需要精心实现来抵抗侧信道攻击

References

- [1] Alkim, E., Ducas, L., Poppelmann, T., and Schwabe, P.. Post-quantum Key Exchange: a New Hope. In USENIX Security 2016, <https://eprint.iacr.org/2015/1092>.
- [2] Albrecht, M. R., Player, R., and Scott, S.. On the concrete hardness of Learning with Errors. In J. Mathematical Cryptology, vol. 9(3), 169–203, 2015.
- [3] Boneh, D., Dagdelen, Ö., Fischlin, M., Lehmann, A., Schaffner, C., and Zhandry, M.. Random oracles in a quantum world. In ASIACRYPT 2011, 41–69, 2011.
- [4] Chen, Y., Nguyen, P. Q.: BKZ 2.0: better lattice security estimates [C]. In: Proc. ASIACRYPT 2011, 1–20 2011.
- [5] del Pino, R., Lyubashevsky, V., and Pointcheval, D.. The whole is less than the sum of its parts: Constructing more efficient lattice-based AKEs. In SCN 16, 273–291, 2016.
- [6] Genise, N., Micciancio, D.: Faster gaussian sampling for trapdoor lattices with arbitrary modulus. In EUROCRYPT 2018, 174–203, 2018.
- [7] Gentry, C., Peikert, C., Vaikuntanathan, V.: Trapdoors for Hard Lattices and New Cryptographic Constructions. In STOC 2008, 197–206, 2008.
- [8] Lyubashevsky, V., Peikert, C., and Regev, O.. On Ideal Lattices and Learning with Errors over Rings. In Eurocrypt 2010, 1–23, 2010.
- [9] Lyubashevsky, V., Peikert, C., Regev, O.: A toolkit for ring-lwe cryptography. In EUROCRYPT 2013, 35–54, 2013.
- [10] Micciancio, D., Peikert, C.: Trapdoors for lattices: Simpler, tighter, faster, smaller. In EUROCRYPT 2012, 700–718, 2012.
- [11] Micciancio, D., Regev, O.: Worst-case to average-case reductions based on Gaussian measure. SIAM Journal on Computing 37(1): 267–302, 2007. Preliminary version in FOCS 2004.
- [12] Peikert, C.: An efficient and parallel gaussian sampler for lattices. In CRYPTO 2010, 80–97, 2010.
- [13] Schnorr C.-P., Euchner M.: Lattice basis reduction: improved practical algorithms and solving subset sum problems [J]. Math. Programming 66, 181–199, 1994.